

砂地盤の棄液注入における割裂発生のメカニズム——固結砂の場合——

早稻田大学 正員 森麟
藻陽大學 正員 千炳植
早稻田大學 學員 田村昌仁
早稻田大學 ○ 學員 佐藤一朗

1.はじめに 薬液注入の際生ずる割裂現象は、浸透注入を目指す砂質地盤の場合には大きな問題であるが、割裂発生圧をどのメカニズムはよくかかってはない。本研究は、浸透注入の形態を取る砂質地盤内に発生する割裂のメカニズム解明の第1段階として、割裂圧および割裂面の確認の容易な固結砂を用いて行るものである。

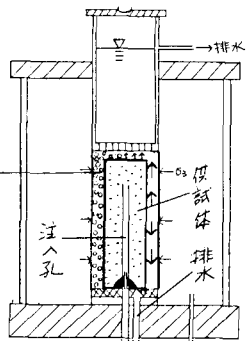
2. 過水性の小三、同結砂の剝離実験法

2. 遷水性の小さい直結砂の剥離実験法 三軸圧縮試験機を用い、明確な点と柱状下で実験を行なうことにした。供試体は直徑25mm高さ150mmの円筒形に水ガラスにより豊浦砂で固結させ、中心に4mm径の注入孔を持つものを使用した。尚、供試体特性は表1に示す。この供試体を水中養生で完全に飽和して柱状で実験を行なった。供試体を図1の様にセル内にセットし、等方水圧のみを作用させると共に、供試体下部ペディカルのボーラスストンを通じてベックアレッシャー(B.P)をかけた。0.5は1~3kgf, B.Pは0.1~2.9kgfとした。1時間以上静置し、0.5-BPaの有効圧下で圧密せらる。水圧ヒバーベックアレッシャーはそのままで、供試体下端の注入パイプから注入圧を次第に上げて行く。注入圧速度は3種で、0.1kgf/minを5, 30, 100kgfで上げた。注入圧が1kgf以上になると注入速度(C.Gee), 30kgfから5mmの間隙水圧を測定した。注入圧を上げて行き、注入速度が急激に増加した時点で実験をやめた。剥離圧の決定は、注入圧へ注入量曲線を描き急激な流量増加点に当る注入圧の大さとしている。

3. 過水性の検討と、固結砂の割合実験

3. 透水性のやや下ない固結砂の割裂実験法 供試体は豊浦砂を用ひ
て水がラス系液でよく固結させたもので、径65mm高さ130mmである。この周面
に排水層を巻いて径75mm高さ140mmとなる。実験の概要図は図2の様子とおなじ。
注入液は供試体内を通じて周面の排水砂層に出て外に排水される。バーナー
シマーはゼロの状態に相当する。間隙圧計のセットは供試体から3cm出で
るが、注入加压速度は0.1kg/cm²±10.40.120秒の3速度で行なう。

14-1 透水性の小さい固結砂の 割裂実験装置



透水性のやや大きい固形物 の剝離実験装置

表-1 個試練特性

供試体	e	k (cm/sec $\times 10^3$)	σ_u (kg/cm 2)	σ_t (kg/cm 2)
高さ15cm 底面砂	0.60	1.0×10^3	283	0.35
高さ性DMX 底面EVA	0.75	10×10^3	239	0.35

（1）秦北性の少波山園耕政の実例とその二段式

1)等方拘束圧下におけるもみかねりやす、粘性土の場合と異なりすべり面垂直方向の引張破壊を生じて車軸が第一段階で考えられる。この孔壁は引張破壊の発生条件は以下の様に存在する。引張引行の間隙水压 π は以下のように

シヤ-B P と注入圧 P によって $\sigma = B P + \alpha \sigma$... (1) となる。供試体の引張り強さ σ_{ct} とするとき前記存在している孔壁面の垂直引張り破壊に対する有効抵抗力 DR は弾性論から $DR = 2\sigma_3 + \sigma_{ct}$... (2) であるが、孔壁面間隙圧を U とすると DR は、 $DR = 2\sigma_3 - U + \sigma_{ct}$... (3) となる。また注入圧 P により生ずる孔壁面引張り応力 σ_B は $\sigma_B = P$... (4) であるから引張り破壊条件は $DR = \sigma_B$ より $P = 2\sigma_3 - U + \sigma_{ct}$... (5) となる。尚 P は割裂発生注入圧である。(5) 式の間隙水圧 U は孔壁では注入圧 P と等しいので、孔壁の引張り割裂発生圧 P_i は $P_i = \sigma_3 + \frac{\sigma_{ct}}{2}$... (6) である。この(6)式の注入圧に割裂圧 P_i の実験値よりかなり小さい。従って孔壁面の引張り割裂の施工だけでは割裂は進行しないことになる。孔壁面より内部へ垂直割裂を展進させるには、巻

裂先端の土に持っている抵抗力に打勝つ液圧が必要となる。この抵抗力は(3)式とほぼ同じと考えられるが、間隙水圧 U の値は注入圧 P より若干小さい。孔壁から5mm内部の間隙水圧 U の値を用いると裏裂を直展させる液圧 P_f は

$$P_f > (2\sigma_3 - U_s) + \alpha T \quad \dots (7)$$

となる。裏裂を直展させた注入圧 P_f は(7)

式からも明らかのように、 $(2\sigma_3 - U_s)$ に支配される。そこで $(2\sigma_3 - U_s)$ を求める割裂圧 P_f との関係を調べたのが図3である。これは、割裂圧 P_f は $(2\sigma_3 - U_s)$ に比例し、直線的に増加する結果となっている。縦軸の P_f を αT とすると、

$$P_f = (2\sigma_3 - U_s) + \alpha T \quad \dots (8) \quad (\text{kg/cm}^2)$$

と書けるが、ここで(7)式から求まる P_f と差 $P_f - P_2 = (\alpha - 1)T$ $\dots (9)$ において、 $(\alpha - 1)T$ が注入加圧速度に影響されるということは、割裂発生が裏裂のことでない孔壁の少し内部を注入圧による応力で引張り破壊し、その垂直裏裂を直展させることではないことを示唆している。この様な実験結果は、注入孔内をエム風船加圧したときの割裂圧および、注入孔壁にナビゲーション切欠けを設けた時の割裂圧から、割裂はナビゲーション切欠けで直展することがかった。

5. 透水性のやや大きい固結砂の浸透と併行の場合の割裂のメカニズム

孔壁が砂によるせん断斜面の裏裂が出来て、同時にすべて垂直割裂となりて、この場合も4と同じく割裂は孔壁にまじて垂直引張り裏裂が直展したものと考えられる。その結果、本実験でも割裂圧 P_f は $(2\sigma_3 - U)$ に比例すると考えられる。ここで U は間隙水圧を測定していないので、実験による P_f の測定値と $(2\sigma_3 - U)$ が比例する様に β を決めることにする。 P_f は間隙水圧は実験的最大注入圧 P_2 と加圧速度に関係するのでそれを考慮して、 $U = \beta \cdot P_f \quad \dots (10)$ としてみると直線の β は表2の様になる。この β の値を用いて求めたところ、実測の割裂圧 P_f を整理したのが図4で、加圧速度による点もほぼひとつの直線となる。また縦軸の横片は 0.8 kg/cm^2 で引張強度の約4倍で、4の場合の0.5~2倍より下くなっているが、これは透水性のやや大きい供試体の場合、裏裂内のナビゲーション作用を起こす液が流れるので、裏裂内液圧が注入圧よりかなり低下して P_f となると考えられる。

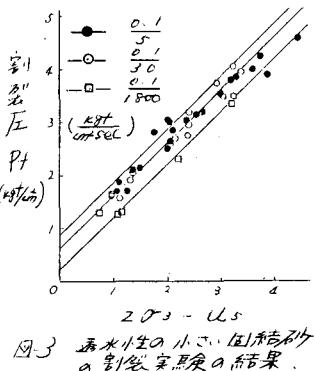


図3 透水性のやや大きい固結砂の割裂実験の結果

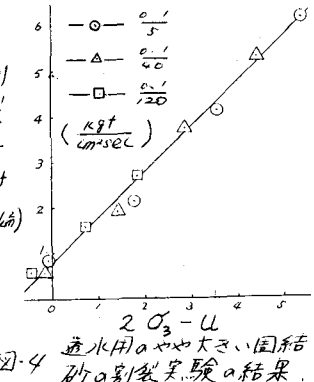


図4 透水性のやや大きい固結砂の割裂実験の結果

表2 注入加圧速度と β の関係

注入加圧速度	β
$0.1 \text{ kg/cm}^2 / 5 \text{ SEC}$	0.1
$0.1 \text{ kg/cm}^2 / 40 \text{ SEC}$	0.3
$0.1 \text{ kg/cm}^2 / 20 \text{ SEC}$	0.8

6.まとめ

本研究は透水性のやや大きい固結砂と透水性のやや大きい固結砂の割裂圧を実験的に調査し、次の様な結果を得た。

- (1) 固結砂の場合には透水性の有無により割裂は注入圧により生じた注入孔壁の垂直引張裏裂が、裏裂中に作用する液圧のナビゲーション作用により直展して割裂する。
- (2) 透水性と無関係に固結砂の割裂圧 P_f は、 $P_f = 2\sigma_3 - U + \alpha T$ で与えられる。注入加圧速度が早い程孔壁付近の間隙水圧 U は小さいので P_f が大きくなる。割裂圧として考えられる最大値は直端は急速加圧時に生じ、しかもバッファレーショーン、即ち現場では地下水圧 U_G のままでの場合であり、 α は2程度とする比は次のようにある。 $P_{fmax} = 2\sigma_3 - U_s + 2T$ 割裂圧の最小値としては極めて少く、 α の加圧(上場)で、 U は注入圧となる場合で $\alpha = 1$ 程度と考えられる。従って $P_{fmin} = \sigma_3 + \frac{\alpha T}{2}$ 。
- (3) 透水性の有る固結砂の割裂圧は透水性のないものに比べ同等又はそれ以上で、拘束圧 σ_3 が高くなるとその差はかなり大きくなる。透水性の有無による割裂圧の差は主に孔壁付近の間隙圧 U の違いによるものである。この研究に当っては、東京電力(株)のご援助を受けたことを記し、謝意を表します。